

10. Mathematical Model of Dynamic Recrystallization / A.V.Kaptisan, Yu.N.Gornostyrev, V.N.Urtsev, V.I.Levit // The 8-th Int. Congr. Heat Treat. Mater. «Heat and Surface' 92». — Tokyo, 1992. — P. 77–80.
11. Adebanjo Richardson O., Viller Alan K. Modelling the Effects of Recrystallization on the Flow Behavior During Hot Deformation by Modifying an Existing Constitutive Model // Vfter. Sci. And Eng. A, 1989. — V. 119. — P. 87–101.
12. Karhausen Kai, Kopp Reiner. Model for Integrated Process and Microstructure Simulation in Hot Forming // Steel Res, 1992. — 63. — № 6. — P. 247–256.

© Горбатенко В.П., Горбатенко В.В., Лейрих И.В., 2001

РУДЕНКО Е.А. (ДОНГТУ)

ЭКСПЕРИМЕНТАЛЬНОЕ ИССЛЕДОВАНИЕ СИЛОВЫХ ПАРАМЕТРОВ ПРОЦЕССА РЕДУЦИРОВАНИЯ СЛЯБОВ В КАЛИБРОВАННЫХ ВЕРТИКАЛЬНЫХ ВАЛКАХ

В статье приведены результаты экспериментального исследования на лабораторном стане деформационных и силовых параметров процесса редуцирования слябов по ширине. Получены математические зависимости для определения предельного обжатия по ширине по устойчивости сляба от поперечного изгиба, среднего давления прокатки и коэффициента плеча момента прокатки.

Современной тенденцией развития широкополосных станов горячей прокатки (ШСГП) является установка в начале черновой группы клетей редуцирующих агрегатов — мощных реверсивных вертикальных или универсальных клетей с калиброванными вертикальными валками (ВВ).

Технология редуцирования слябов по ширине позволяет значительно повысить эффективность работы машин непрерывного литья заготовок (МНЛЗ) в технологическом комплексе МНЛЗ-ШСГП. Сокращение позиций размерного ряда слябов по ширине увеличивает производительность и уменьшает расходы по переделу МНЛЗ, а также является предпосылкой создания толстослябового литейно-прокатного модуля, основанного на использовании прямой прокатки непрерывнолитых слябов с незначительным их подогревом и термостатированием [1, 2]. В этой связи, для проектирования редуцирующих клетей необходимо иметь надежные данные по предельным обжатиям по ширине в калиброванных ВВ и соответствующим им силовым параметрам.

Исследования силовых и геометрических параметров редуцирования слябов в ящичных калибрах ВВ редуцирующих клетей выполнили путем физического моделирования на лабораторном стане 340. Моделировали обжатие слябов толщиной 315, 250 и 190 мм, шириной 1200, 1600, 2000 и 2400 мм в ящичных калибрах ВВ с катающим диаметром 1600 мм. В качестве моделирующего материала выбрана сталь Ст.3. Масштаб моделирования 1:16,5.

Из условия геометрического подобия процесса прокатки с учетом масштаба моделирования приняли: диаметр валков по бурту $D_b=120$ мм; катающий диаметр (по дну калибра) $D_{ek}=85$ мм; толщину образцов 19,1; 15,2 и 11,5 мм; ширину посередине их длины 72,7; 97; 121,2 и 145,5 мм; длину 400 мм. Образцы были изготовлены с переменной шириной по длине с разницей ширин на концах в 12 мм.

Прокатку образцов выполнили в трех ящичных калибрах. Для обеспечения прокатки без защемления ширину калибров по дну приняли равными толщине образцов. Форма ящичных калибров показана на рис.1, а значения их размеров и параметров в таблице. Калибры характеризуются следующими параметрами [3]: $k=2b_p/B$; $n=2b_p/h_d$; $\delta_1=tg\alpha_1=(h_n-h_d)/2b_1$; $\delta_2=tg\alpha_2=(h_p-h_d)/2b_2$ (где k — коэффициент глубины; n — коэффициент формы; h_d , h_n , h_o — ширина у дна, в пережиме и у разъема; b_p , b_1 , b_2 — полная

глубина калибра и частей с разными выпусками; δ_1 , δ_2 — коэффициенты выпуска у дна и у разъема; α_1 , α_2 — углы выпуска у дна и у разъема).

Таблица — Значения размеров и параметров калибров (натура)

N	h_p , мм	h_o , мм	h_n , мм	b_1 , мм	b_{2r} , мм	b_p , мм	α_1 , гр	α_2 , гр	k	n	δ_1	δ_2
1	380	315	350	250	50	300	4	17	0,6–0,25	1,9	0,07	0,305
2	307	250	276	250	50	300	3	17	0,6–0,25	2,4	0,05	0,305
3	238	190	208	250	50	300	2	17	0,6–0,25	3,2	0,04	0,305

Образцы нагревали до 1100–1150°С и прокатывали с переменным обжатием по ширине со скоростью 0,04–0,05 м/с. Обжатие на переднем конце раскатов устанавливали из условия достижения критического значения (по устойчивости от поперечного изгиба) на участке заднего конца. В процессе прокатки осциллографировали по длине образцов силу прокатки, крутящие моменты на обоих шпиндельях, температуру с использованием тензостанции «Топаз-3-01», светолучевого осциллографа «Н-145» и пиromетра «ОПИР-С».

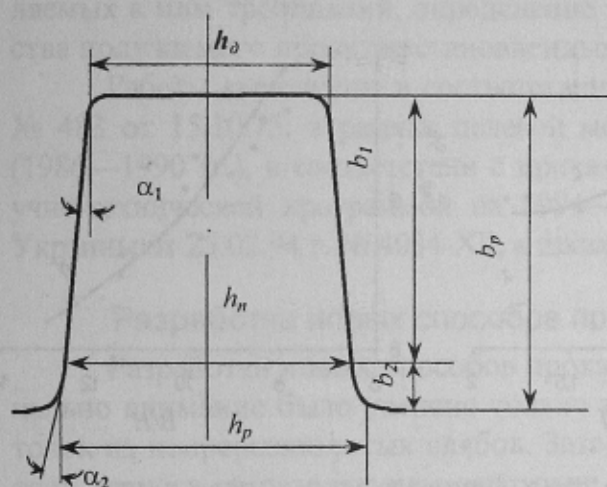


Рис. 1. Размеры редуцирующего калибра

В связи с изменением температуры по длине образцов во время прокатки, значения силовых параметров по длине привели к температуре 1150°С. Натурные значения силы и момента прокатки определяли пересчетом [4].

Ограниченнный крутящий момент электродвигателя привода валков не позволил достичь критических обжатий по поперечному изгибу при прокатке образцов толщиной 19,1 мм (натура 315 мм) всех ширин и 15,2 мм (250 мм) шириной 72,5 и 97 мм (1200 и 1400 мм). При моменте прокатки более 3,5 МНм (натура) и обжатии 150–200 мм (натура) валки останавливались.

По измеренным силам P_σ и моментам прокатки M_σ в каждом условном сечении по длине образцов рассчитывали средние давления p_{scp} и коэффициенты приложения равнодействующей силы прокатки ψ_σ .

Результаты моделирования силовых условий прокатки в калиброванных ВВ, приведенные к натурным значениям, показаны на рис. 2.

Как видно из рис. 2 а, б, максимальные значения усилия 7,5–8,5 МН и момента — 3,4–3,5 МН зафиксированы при прокатке слябов (раскатов) толщиной 315–250 мм с обжатием 150–200 мм. Для условий деформации слябов толщиной 190 мм предельные нагрузки, отвечающие критическим (по устойчивости от поперечного изгиба) обжатиям составляют: сила прокатки 5,2–6,5 МН; момент прокатки 2,3–2,5 МНм.

Регрессионный анализ экспериментальных данных показал, что теснота связи силы, момента и среднего давления прокатки с критерием $l_{\sigma\theta}/H$ (где $l_{\sigma\theta}$ — длина очага деформации) сильнее, чем с принятым для листовой прокатки отношением $l_{\sigma\theta}/B$. Кривые на рис. 2 г, д аппроксимируются следующими зависимостями:

$$p_{scp} = 65(l_{\sigma\theta}/H)^{0.45}; \quad (1)$$

$$\psi_\sigma = 0.59(l_{\sigma\theta}/H)^{-0.35}. \quad (2)$$

Установлено, что при $B/H > 8$ и относительном обжатии $\varepsilon > 7\%$ сляб (раскат) теряет устойчивость, изгинаясь в поперечном направлении. Причем, с увеличением B/H величина критического обжатия ε_{kp} уменьшается. Так, при прокатке слябов толщиной 190мм с увеличением ширины от 1600 до 2400 мм критическое обжатие уменьшилось с 192 мм до 175 мм. Для слябов толщиной более 250 мм критическое обжатие превышает 200 мм.

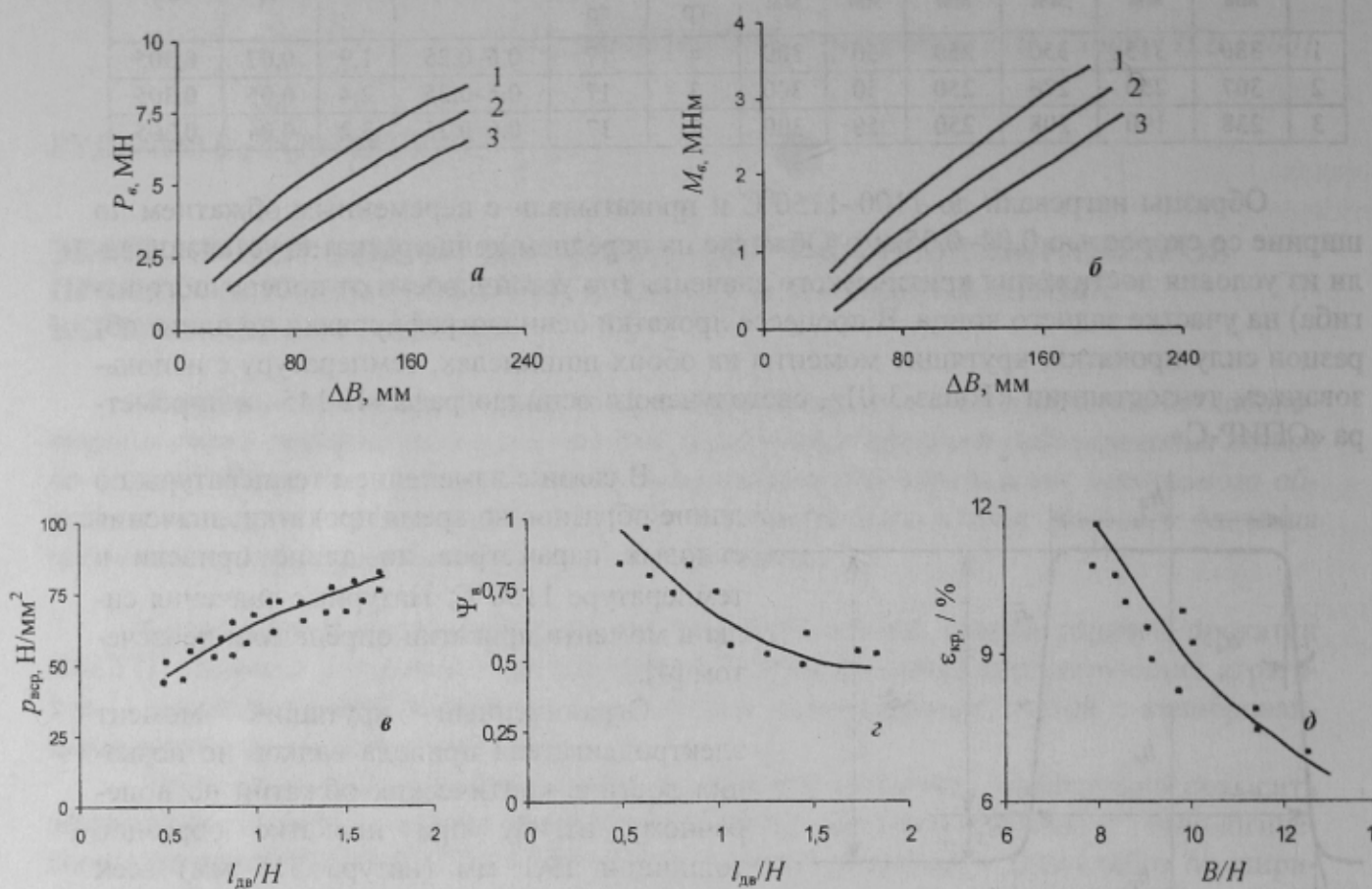


Рис. 2. Силовые параметры редуцирования: 1 — $B/H=3,8-7,6$; 2 — $B/H=4,8-9,6$; 3 — $B/H=6,3-12,6$

Графическую зависимость критической степени относительной деформации ε_{kp} от отношения B/H (рис. 2 д) можно описать выражением:

$$\varepsilon_{kp} = 1,4(B/H)^{-1,19}. \quad (3)$$

В результате выполненных исследований установлены предельные обжатия по устойчивости от поперечного изгиба при редуцировании слябов в калиброванных вертикальных валках и соответствующие им сила и момент прокатки. Получены зависимости для определения среднего давления и коэффициента плеча равнодействующей силы прокатки, которые могут быть использованы при разработке режимов редуцирования и параметров редуцирующих агрегатов.

Список литературы

1. Коновалов Ю.В., Оробцев В.В. Опыт и перспективы применения листовых литейно-прокатных модулей // Металлург, 1997. — № 8. — С. 41–45.
2. Минаев А.А., Коновалов Ю.В. Толсто- и тонкослябовые литейно-прокатные модули как путь быстрой реконструкции металлургических предприятий // Сб. науч. тр. «Черная металлургия России и стран СНГ в XXI веке». — М.: Металлургия, 1994. — Т. 3. — С. 193–195.
3. Чижиков Ю.М. Редуцирование и прокатка металла непрерывной разливки. — М.: Металлургия, 1974. — 384 с.
4. Чижиков Ю.М. Теория подобия и моделирование процессов обработки металлов давлением. — М.: Металлургия, 1970. — 296 с.